



The Effects of Climate Change on Yield and Phenological Stages of Potato Plant (Case Study: South of Kerman Province)

Fateme Bayatani¹ and Keramat Nezhadafzali^{2*}

1- Ph.D, Department of Geography, Faculty of Literature, Hakim Sabzevari University, Sabzevar, Iran.

2- Assistant Professor, Department of Geography, Faculty of Literature and Human Sciences, Jiroft University, Jiroft, Iran.

(*- Corresponding author's Email: k.nezhadafzali@ujiroft.ac.ir)

Received: 05-06-2022

Revised: 09-01-2023

Accepted: 18-03-2023

Available Online: 18-03-2023

How to cite this article:

Bayatani, F., & Nezhadafzali, K. (2024). The Effects of Climate Change on Yield and Phenological Stages of Potato Plant (Case Study: South of Kerman Province). *Journal of Agroecology*, 16(1), 63-80. (In Persian with English abstract).

<https://doi.org/10.22067/agry.2023.77055.1116>

Introduction

Food security is one of the most important concerns of human society. Given the importance of climate for the agricultural sector, achieving long-term climate forecasts in this area is essential. The advent of global climate (GCM) and regional models (RCM) has made it possible for researchers to study the impact of climate on agricultural products. Predicted climate change, especially the increase in atmospheric carbon dioxide and temperature, as well as changes in the amount and patterns of rainfall, will have severe effects on agricultural production and food security, especially in arid and semi-arid regions. Therefore, any change in the world climate, directly affects the production of agricultural products in different parts of the world and, consequently, the issue of food security in the world. This study was conducted to investigate the effects of climate change on yield and length of phenological stages of potato plant in tropical and subtropical regions of Kerman province.

Materials and Methods

The study area in this research includes stations with a statistical period of 17 years (1989 to 2005), including Jiroft, Kahnooj, and Manojan. In this study, maximum and minimum temperature data, precipitation, average relative humidity, average wind speed, and sunny hours on a daily time scale were used for the exponential microscale. From the output of the CanESM2 general circulation model was used under the three scenarios rcp2.6, rcp4.5, and rcp8.5. The SDSM microscale model was used to exponentially scale the output of the general circulation model. In order to prepare field data for calibration and to determine the validity of the WOFOST model in potential conditions, data from research projects of Jiroft Agricultural Research Center during 2010-2011 were collected and used as a basic course. This information includes planting date, phenological stages from planting to emergence, emergence to flowering, and emergence to physiological maturity of the potato plant in the study areas.

Results and Discussion

The results of WOFOST model validation for phenological stages and potato yield provided acceptable



©2023 The author(s). This is an open access article distributed under [Creative Commons Attribution 4.0 International License \(CC BY 4.0\)](#), which permits use, sharing, adaptation, distribution and reproduction in any medium or format, as long as you give appropriate credit to the original author(s) and the source.

<https://doi.org/10.22067/agry.2023.77055.1116>

estimates for both variables. The ability of the SDSM model to simulate meteorological parameters was confirmed, however, the model showed less accuracy in simulating precipitation. The simulated maximum and minimum temperatures for the next period (2011-2100) under RCP scenarios increased compared to the observation period in all three RCP scenarios. Precipitation has also will change in future periods in all three scenarios and show a declining trend. Combining the results of the CanESM2 climate model under RCP scenarios in three climate periods 2011-2041, 2041-2070 and 2071-2100 with the WOFOST growth simulation model showed that the length of different phenological stages and potato tuber yield under potential conditions will be reduced in the study areas. The stage of germination to the physiological maturation of the tubers, due to its longer duration, the greatest reduction in the length of the period occurred in this stage. The results of potato tuber yield simulation showed a decrease in yield in the study areas. According to the results, the highest reduction in performance was observed in the third period (2071-2100). The percentage of glandular function reduction was observed on average between 2 and 4.3%. In general, the results showed an increase in the average minimum and maximum temperatures of 0.37 to 0.9 degrees Celsius over the next three periods. The length of the phenological stages of the potato plant from emergence to physiological maturity has decreased in parallel with the increase in the mean minimum and maximum temperatures. The reduction in the length of the germination stage is between 0.2 to 1.9 days, the flowering stage is between 0.5 to 1.7 days, and the maturation stage to maturity is between 1.4 to 3.5 days. The greatest reduction during the phenological stages is related to the emergence stage to maturity of 3.5 days.

Conclusion

In general, the results of this study indicate an increase in the negative effects of climate change on the potato plant in three stations of Jiroft, Kahnouj, and Manjan. As the temperature rises and the rainfall decreases, and naturally, the length of the growing season and the yield of potatoes decrease, the amount of damage in future climates will increase. Generally, for one degree Celsius increase in average annual temperature, tuber yield will decrease by 4.99%.

Keywords: General Circulation Model, Exponential Microscale, WOFOST Model, Phenological Stages of Potato, South of Kerman Province



مقاله پژوهشی

جلد ۱۶، شماره ۱، بهار ۱۴۰۳، ص ۷۳-۸۰

اثرات تغییر اقلیم بر عملکرد و مراحل فنولوژیکی گیاه سیب زمینی (مطالعه موردنی: جنوب استان کرمان)

فاطمه بیاتانی^۱ و کرامت نژاد افضلی^{۲*}

تاریخ دریافت: ۱۴۰۱/۰۳/۱۵

تاریخ بازنگری: ۱۴۰۱/۱۰/۱۹

تاریخ پذیرش: ۱۴۰۱/۱۲/۲۷

چکیده

سیب زمینی از محصولات مهم زراعی است که به عنوان یک محصول استراتژیک در تأمین امنیت غذایی در آینده شناخته شده است. با توجه به پدیده گرمایش جهانی و تحت تأثیر قرار دادن تولیدات محصولات کشاورزی، ارزیابی اثرات تغییر اقلیم بر تولید سیب زمینی در کشور ضروری می باشد. بدین منظور، از داده های مدل اقلیمی CanESM2، تحت سناریوهای انتشار RCP8.5 و RCP2.6، RCP4.5 و RCP1.9، در مناطق گرمسیری و WOFOST نیمه گرمسیری استان کرمان، استفاده گردید. از مدل آماری SDSM، برای ریز مقیاس نمایی خروجی مدل CanESM2، و از مدل به منظور شبیه سازی عملکرد غده و مراحل فنولوژیکی سیب زمینی استفاده شد. در این مطالعه، مدل WOFOST با استفاده از داده های مزروعه ای سال ۹۰، ۹۱ و ۹۲ کالبیراسیون و با داده های سال های ۱۳۹۳ و ۱۳۹۱ تعیین اعتبار گردید. نتایج به دست آمده از شاخص های آماری، نشان از دقت بالای SDSM و مدل WOFOST و مطابقت نتایج کالبیراسیون و تعیین اعتبار با داده های دیدبانی بود. میانگین مربعات خطأ در دو مدل SDSM و مدل WOFAST در مراحل کالبیراسیون و صحبت سنجی به ترتیب 0.8 ± 0.08 و 0.74 ± 0.07 درصد تجاوز نکرده و در محدوده عالی قرار داشت. درصد مراحل فنولوژیک و بالای ۹۰ درصد عملکرد غده سیب زمینی، در اطراف خط استاندار ($\pm SE$) مراحل فنولوژیک و عملکرد دیده بانی شده قرار داشت. نتایج شبیه سازی در مناطق مورد مطالعه تحت سناریوهای RCP نشان دهنده افزایش دمای کمینه در محدوده 0°C تا 1.3°C درجه سلسیوس، دمای بیشینه در محدوده 0°C تا 1.2°C درجه سلسیوس و کاهش بارش در محدوده -6°C تا -3.7°C میلیمتر خواهد بود. نتایج حاصل از شبیه سازی عملکرد غده و مراحل فنولوژیکی سیب زمینی در دوره آینده توسط مدل WOFOST، بیانگر کاهش عملکرد سیب زمینی به میزان $0.8 \pm 0.08^{\circ}\text{C}$ درصد بود. میانگین حداقل کاهش طول رشد با $3/5$ روز در سناریوی RCP8.5 مربوط به مرحله رسیدگی فیزیولوژیکی (برداشت) بود. همچنین نتایج نشان داد که به ازای هر یک درجه سلسیوس افزایش میانگین دما سالانه، عملکرد غده به میزان $4/99$ درصد کاهش خواهد داشت.

واژه های کلیدی: ریز مقیاس نمایی، مدل گردش عمومی، مدل WOFOST، مراحل فنولوژیکی سیب زمینی

مقدمه

آن از ابعاد اجتماعی-اقتصادی، زیست محیطی، سیاسی و امنیتی دارای اهمیت خاص می باشد و در ابعاد ملی، منطقه ای و بین المللی باید مورد توجه قرار گیرد. بخش کشاورزی به سبب تعاملات گسترده و مستقیم با محیط، بیشترین تأثیر را از پدیده تغییر اقلیم می پذیرد، و به تغییرات آب و هوایی و پدیده های خاص مانند خشکسالی، سیلاب ها و طوفان های شدید حساس است. ممکن است افزایش دما نقش مثبتی در تولید غذا داشته باشد، اماً افزایش پتانسیل خشکسالی، سیل و امواج گرمایی، چالش کشاورزان را افزایش خواهد داد (Banihashemi،

پدیده تغییر آب و هوایی از چالش های مهم قرن حاضر در سطح دنیا شناخته شده است. تغییرات آب و هوایی و عواقب و آثار

۱- دکتری، گروه جغرافیا، دانشکده ادبیات، دانشگاه حکیم سبزواری، سبزوار، ایران.
۲- استادیار، گروه جغرافیا، دانشکده ادبیات و علوم انسانی، دانشگاه جیرفت، جیرفت، ایران.

(Email: k.nezhadafzali@ujiroft.ac.ir) نویسنده مسئول:
<https://doi.org/10.22067/agry.2023.77055.1116>

زیرزمینی می‌باشد (*Solanum Khajehpour, 2008*). سیب‌زمینی (*Oryza L.*) پس از گندم (*Triticum L.*), برنج (*tuberosum L.*) و ذرت (*Zea mays L.*)، چهارمین محصول در سبد غذایی جوامع بشری است (*FAO, 2012*), که نشان از اهمیت نقش آن در تأمین پروتئین و نیازهای غذایی مردم دارد. سازمان خواروبار و کشاورزی-جهانی، سیب‌زمینی را یک محصول تامین‌کننده امنیت غذایی آینده در دنیا معرفی نموده و کشور ایران با داشتن اقلیمی متنوع و با تولید سالانه پنج میلیون تن سیب‌زمینی در رتبه سیزدهم تولید این محصول در جهان قرار دارد (*FAO, 2019*). سیب‌زمینی از نظر توازن پروتئین در غده‌ها، دارا بودن اسیدهای آمینه مهم سازنده پروتئین، ویتامین‌ها و مواد معدنی در تغذیه دارای اهمیت ویژه می‌باشد. برخی از تغییرات رخ داده در دوره رشد گیاهی در مقابل تغییر شرایط اقلیمی، در مقیاس محلی و منطقه‌ای قابل مشاهده است. طبق مطالعات و تحقیقات انجام شده، تأثیر افزایش غلظت دی اکسید کربن اتمسفر و تغییرات آب و هوایی همراه با آن بر گیاهان زراعی کاملاً به شرایط محیطی بستگی دارد و ممکن است از محلی به محل دیگر تفاوت کند. از طرف دیگر، مدل‌های گیاهی از جمله مدل WOFOST به دلیل دقت بالا در شبیه سازی ابزار مناسبی جهت پیش‌بینی عملکرد محصول در شرایط تغییر اقلیم است. هدف از این مطالعه بررسی اثر گرمایش جهانی از طریق کاربرد مدل گردش کلی RCP4.5، RCP2.6 و CanESM2¹ بر اساس سناریوهای انتشار RCP8.5 و مدل شبیه‌ساز رشد و نمو² WOFOST در شرایط اقلیمی جنوب استان کرمان جهت شبیه سازی مراحل فنولوژی و عملکرد محصول سیب‌زمینی در شرایط پتانسیل می‌باشد. بنابراین، با توجه به اهمیت وضع هوا و اقلیم بر بخش کشاورزی، دستیابی به پیش‌بینی‌های بلند مدت اقلیمی در این بخش ضروری است (*Bayatani, 2019*). پیدایش مدل‌های اقلیم جهانی (GCM³) و منطقه‌ای (RCM⁴) این امکان را به وجود آورده است تا محققان بتوانند تأثیر وضع هوا و اقلیم را در مقیاس‌های زمانی بلند مدت بر محصولات مختلف کشاورزی بررسی نمایند (*Esmaili et al., 2011*).

با توجه به اهمیت گیاه سیب‌زمینی در جیره غذایی بشر و تاثیر

(2012) در صورتی که اقدامات مناسبی در جهت کاهش اثرات تغییر اقلیم و سازگاری با آن صورت نگیرد، این پدیده می‌تواند بخش عمدۀ‌ای از جهان، از جمله کشاورزی و منابع آب را تحت تأثیر قرار دهد (*Taei Samiromi et al., 2014*). بنابراین، هر گونه تغییر در وضعیت آب و هوای جهان، به طور مستقیم در تولید محصولات کشاورزی مناطق مختلف دنیا و در نتیجه بر موضوع تأمین امنیت غذایی در سطح جهان تاثیرگذار است.

امنیت غذایی یکی از مهم‌ترین دغدغه‌های جامعه بشری است و پیش‌بینی می‌شود با رشد جمعیت، برای تأمین مواد غذایی مورد نیاز جامعه جهانی در سال ۲۰۵۰ میلادی، تولید مواد غذایی حدود ۷۰ درصد افزایش یابد (*Dalghandi et al., 2014*). تغییرات پیش‌بینی شده اقلیمی به ویژه افزایش میزان دی اکسید کربن اتمسفر، درجه حرارت و نیز تغییر در میزان و الگوهای بارندگی اثرات شدیدی بر تولید محصولات کشاورزی و امنیت غذایی به خصوص در مناطق خشک و نیمه خشک خواهد داشت. اقلیم‌های خشک و نیمه‌خشک از یک طرف، به دلیل ساختار اکولوژیکی خاص خود پیش از سایر اقلیم‌ها نسبت به تغییرات محیطی حساس بوده و آسیب‌پذیری بیشتری دارند. از طرف دیگر، همانطور که آشکار است از مفاد بارز و آشکار پدیده تغییر اقلیم در بخش کشاورزی، تأثیر در اکوسیستم‌های طبیعی و فعالیت‌های کشاورزی می‌باشد (*Bayatani, 2019*). بنابراین، به نظر می‌رسد که وقوع تغییرات احتمالی اقلیمی در این مناطق اثرات قابل ملاحظه‌ای بر سیستم‌های تولید کشاورزی به همراه داشته باشد (*Turkaman, 2016*).

على رغم تلاش‌های بسیار زیاد اقلیم شناسان، هنوز عدم قطعیت‌های قابل توجهی در مورد اثرات بالقوه تغییر اقلیم در بخش کشاورزی وجود دارد (*Gouache et al., 2012*). با این وجود، تغییر اقلیم بر تغییر فنولوژی و فیزیولوژی گیاه، بیلان آب در خاک، تبخیر و تعرق و بارندگی مؤثر بر رشد، عملکرد و نیاز آبی گیاهان تأثیر دارد (*Darzi Naftchali & Karandish, 2016*). بر اساس تحقیقات صورت گرفته افزایش غلظت دی اکسید کربن اتمسفر سبب افزایش عملکرد گیاهان C3 مانند گندم، برنج و سویا شده و سبب افزایش عملکرد انکی در گیاهان C4 مانند ذرت، سورگوم و نیشکر می‌شود (*Ficher et al., 2007*)

سیب‌زمینی (potato) گیاهی است یک ساله از تیره Solanaceae با نام علمی (*Solanum tuberosum L.*) که اندام اقتصادی آن ساقه

1- Canadian Earth System Model

2- World Food Studies.

3- General circulation model.

4- Regional climate model.

سال های ۱۳۸۹، ۱۳۹۰ و ۱۳۹۲ و از داده های فنولوژیکی و عملکرد در سال های ۱۳۹۱ و ۱۳۹۳ برای تعیین اعتبار مدل استفاده شد.

مدل تولید داده SDSM

یکی از مهم ترین مدل های ریزمقیاس نمایی آماری مدل SDSM است که مولد مصنوعی داده های هواشناسی می باشد. در این تحقیق، از داده های خروجی مدل گردش عمومی جو (CanESM2) تحت سه سناریوی RCP2.6، RCP4.5 و RCP8.5 استفاده شده است. مدل SDSM در سال ۲۰۰۲ در انگلستان تهیه شده است. مدل SDSM روابط آماری را بر مبنای روش رگرسیون خطی چندگانه بین متغیرهای اقلیمی بزرگ مقیاس (پیش بینی کننده ها) و محلی (پیش بینی شونده ها) محاسبه می کند (Willby et al., 2002). در این مدل، اقلیم محلی توسط اقلیم بزرگ مقیاس منطقه در فرم $R=F(X)$ بیان می شود. که در اینجا R نشان دهنده متغیر محلی است که کوچک مقیاس شده است، X مجموعه ای از متغیرهای اقلیمی بزرگ مقیاس است و F یک تابع تعیین مشروط به X است که بر اساس آموزش و اعتبارسنجی داده های تاریخی بدست می آید (Bayatani, 2019).

در این تحقیق در ابتدا به منظور واسنجی و صحت یابی مدل SDSM، متغیرهای بزرگ مقیاس مشاهداتی (جدول ۱) منطقه مورد مطالعاتی در مقیاس روزانه در دوره ۱۹۸۹-۲۰۰۵ (متغیرهای استخراج شده از NCEP) به عنوان متغیر مستقل، و داده های دمای حداکثر، دمای حداقل، بارش، میانگین رطوبت نسبی، میانگین سرعت باد و ساعات آفتابی روزانه مشاهداتی منطقه در همین دوره، به عنوان متغیر وابسته به طور جداگانه وارد مدل شدند. پس از واسنجی مدل SDSM در ادامه به منظور بررسی توانایی مدل گردش کلی CanESM2 شبیه سازی متغیرهای اقلیمی منطقه، متغیرهای بزرگ مقیاس مدل CanESM2 در دوره ۱۹۸۱-۲۰۰۵ به مدل SDSM (واسنجی شده در مرحله قبل) وارد گردیده و متغیرهای دمای حداکثر، دمای حداقل، بارش، میانگین رطوبت نسبی، میانگین سرعت باد و ساعات آفتابی منطقه برای این دوره کوچک مقیاس شدند. در نهایت، متغیرهای کوچک مقیاس شده منطقه با متغیرهای مشاهداتی مورد مقایسه قرار گرفته و پس از کسب اطمینان از توانایی مدل CanESM2 در کوچک مقیاس کردن متغیرهای اقلیمی منطقه، سری زمانی متغیرها با معرفی متغیرهای بزرگ مقیاس مدل CanESM2 در دوره های ۲۰۴۰-۲۰۷۰، ۲۰۷۱-۲۱۰۰، ۲۰۴۱-۲۰۱۱ (به مدل SDSM) به مدل SDSM (واسنجی شده از مرحله قبل) برای دوره های آتی شبیه سازی شدند.

پذیری آن از شرایط اقلیمی و محیطی بخصوص دما و رطوبت، در این تحقیق به بررسی اثرات تغییر اقلیم بر میزان عملکرد و طول دوره های رشد گیاه سیب زمینی پرداخته شد. به همین منظور از مدل ریزمقیاس نمایی آماری SDSM جهت ریزمقایس نمایی برونداد مدل گردش کلی جو CanEMS2 تحت سناریوی های RCP و مدل رشد و نمو WOFOST استفاده شد. نتایج حاصل از این تحقیق می تواند جهت اتخاذ روش های سازگاری با تغییر اقلیم مورد استفاده مسئولان سازمان جهاد کشاورزی قرار گیرد.

مواد و روش ها

منطقه مورد مطالعه در این تحقیق ایستگاه های با طول دوره آماری ۱۷ ساله (۱۹۸۹ تا ۲۰۰۵) شامل جیرفت، کهنوج و منوجان می باشد. در این مطالعه جهت ریزمقایس نمایی از داده های دمای حداکثر، دمای حداقل، بارش، میانگین رطوبت نسبی، میانگین سرعت باد و ساعات آفتابی در مقیاس زمانی روزانه استفاده گردید. خروجی مدل های گردش عمومی جو بزرگ مقیاس می باشند، بنابراین جهت ریز مقیاس نمایی خروجی مدل گردش عمومی از مدل ریزمقایس کننده SDSM استفاده شد. در مدل SDSM به منظور ریز مقیاس نمایی داده های پارامترهای اقلیمی از سه نوع داده الف- متغیرهای بزرگ مقیاس در دوره آینده (۲۰۱۱-۲۱۰۰) مدل گردش کلی^۱ CanEMS2، ب- متغیرهای بزرگ مقیاس در دوره NCEP در دوره ۱۹۸۹-۲۰۰۵ و ج- داده های دیده بانی (دمای حداکثر، دمای حداقل، بارش، میانگین رطوبت نسبی، میانگین سرعت باد و ساعات آفتابی) روزانه مورد استفاده قرار گرفته است (Bayatani, 2019). به منظور تهیه داده های مزروعه ای جهت واسنجی و ارزیابی مدل WOFOST در شرایط پتانسیل (شرایط بدون محدودیت آب و غذا، کنترل بیماری- هاو علف های هرز) از داده های طرح های تحقیقاتی مرکز تحقیقات کشاورزی جیرفت طی سال های ۱۳۸۹-۹۳ جمع آوری و به عنوان دوره پایه یا دیده بانی مورد استفاده قرار گرفت. این اطلاعات شامل تاریخ کاشت، مراحل فنولوژیکی از کاشت تا سبز شدن، سبز شدن تا گلدهی و سبز شدن تا رسیدگی فیزیولوژیکی (برداشت) گیاه سیب زمینی در مناطق مورد مطالعه می باشد. به منظور کالیبراسیون مدل WOFOST با استفاده از داده های مزروعه ای، از داده های فنولوژیکی و عملکرد در

جدول ۱ - فهرست متغیرهای NCEP

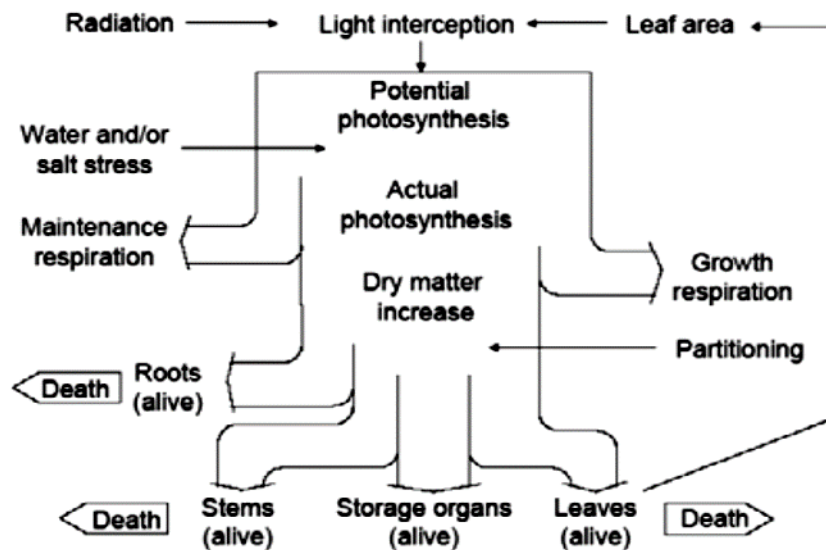
Table 1- List of NCEP variables

ردیف Row	متغیر پیش‌بینی‌کننده Predictor variable	توضیحات Description
1	P5_f	سرعت باد زمینگرد در سطح ۵۰۰ هکتوپاسکال Geostrophic airflow velocity at 500 hPa
2	P5_u	مولفه مداری سرعت باد در سطح ۵۰۰ هکتوپاسکال Horizontal wind at 500 hPa
3	P5_v	مولفه نصف النهاری سرعت باد در سطح ۵۰۰ هکتوپاسکال Zonal wind at 500 hPa
4	P5_z	تاوایی در سطح ۵۰۰ هکتوپاسکال Vorticity at 500 hPa
5	P5th	سمت باد در سطح ۵۰۰ هکتوپاسکال Wind direction at 500 hPa
6	P5zh	واگرایی باد در سطح ۵۰۰ هکتوپاسکال Divergence at 500 hPa
7	P500	ارتفاع ژوپیتانسیل در سطح ۵۰۰ هکتوپاسکال Geopotential height at 500 hPa
8	r500	رطوبت نسبی در سطح ۵۰۰ هکتوپاسکال Relative humidity at 500 hPa
9	P_f	سرعت باد زمینگرد Surface geostrophic airflow
10	P_u	مولفه مداری سرعت باد Surface horizontal wind
11	P_v	مولفه نصف النهاری سرعت باد Surface zonal wind
12	P_z	تاوایی Surface vorticity
13	P_th	سمت باد Surface wind direction
14	P_zh	واگرایی باد Surface divergence
15	P8_f	سرعت باد زمینگرد در سطح ۵۰۰ هکتوپاسکال Geostrophic airflow velocity at 850 hPa
16	P8_u	مولفه مداری سرعت باد در سطح ۵۰۰ هکتوپاسکال Horizontal wind at 850 hPa
17	P8_v	مولفه نصف النهاری سرعت باد در سطح ۵۰۰ هکتوپاسکال Zonal wind at 850 hPa
18	P8_z	تاوایی در سطح ۸۵۰ هکتوپاسکال Vorticity at 850 hPa
19	P8th	سمت باد در سطح ۸۵۰ هکتوپاسکال Wind direction at 850 hPa
20	P8zh	واگرایی باد در سطح ۸۵۰ هکتوپاسکال Divergence at 850 hPa
21	P850	ارتفاع ژوپیتانسیل در سطح ۸۵۰ هکتوپاسکال Geopotential height at 850 hPa
22	r850	رطوبت نسبی در سطح ۸۵۰ هکتوپاسکال Relative humidity at 850 hPa
23	Mslp	میانگین فشار سطح دریا Mean sea level pressure
24	Rhum	رطوبت نسبی نزدیک سطح زمین Near surface relative humidity
25	Shum	رطوبت ویژه نزدیک سطح زمین Near surface specific humidity
26	temp	دماهی هوا در ارتفاع ۲ متری 2-m air temperature

شبیه سازی می کند. CO_2 با استفاده از انرژی تأمین شده بوسیله نور به کربوهیدرات (CH₂O) تبدیل می شود. قسمتی از کربوهیدرات های باقیمانده در مسیر تنفس رشد به ماده خشک تبدیل می شوند، فرآیندهای ذکر شده ساختار مدل، در شکل ۱ ارائه شده است. رشد در مدل به صورت دینامیک با گام زمانی یک روزه شبیه سازی می شود (Taei Samiromi et al., 2012). مدل WOFOST دارای نسخه های مختلف است که در طول سال های مختلف ایجاد شده است. در این مطالعه از نسخه 7.1 WOFOST ver استفاده شد، که توسط مرکز تحقیقات اگرو بیولوژی و حاصلخیزی خاک و مرکز تحقیقات کشاورزی هلند در دانشگاه واخینینگن ساخته شده است.

WOFOST مدل

مدل WOFOST نمو فنولوژیکی و رشد گیاه را از آغاز جوانه زنی تا زمان رسیدگی بر اساس خصوصیات ژنتیکی گیاه و شرایط محیطی توصیف می کند. این برنامه ماده خشک گیاه را به عنوان تابعی از تشعشع، دما و خصوصیت های گیاه در مراحل خشک، سرعت ناخالص جذب سازی می کند. اصول محاسبه تولید ماده خشک، سرعت ناخالص جذب CO₂ توسط کانوپی است، که به انرژی تابشی جذب شده بستگی دارد که تابعی از تشعشع روزانه، سطح برگ گیاه و ضریب خاموشی نور در کانوپی است. WOFOST میزان جذب CO₂ ناخالص از یک گیاه را بر پایه تشعشع فعال فتوستتری (۵۰ درصد از کل تشعشع خورشیدی با طول موج ۴۰۰ تا ۷۰۰ نانومتر) جذب شده توسط گیاه



شکل ۱- مراحل شبیه سازی رشد و نمو گیاه در مدل WOFOST (Supit et al., 1994)
Fig. 1- Stages of plant growth simulation in WOFOST model (Supit et al., 1994)

برای اجرای مدل WOFOST (الف) به داده های هواشناسی (حداقل دما، حداقل دما، میانگین رطوبت نسبی، ساعت آفتابی، متوسط سرعت باد و بارش) به صورت روزانه و (ب) داده های مزرعه ای لازم می باشد. داده های مورد نیاز برای کالیبراسیون و تعیین اعتبار مدل از آزمایشات مزرعه ای انجام شده در مرکز تحقیقات کشاورزی جیرفت فراهم شد. مرحله کالیبراسیون مدل WOFOST با استفاده از متغیرهای اندازه گیری شده رشد گیاه زراعی نظری مشاهدات مراحل فنولوژیکی گیاه سیب زمینی (کاشت تا سبز شدن، سبز شدن تا گلدهی

برای توصیف نمو فنولوژیکی گیاه در مدل WOFOST از متغیر DVS استفاده می شود که برای جوانه زنی، گلدهی و برداشت به ترتیب مقادیر ۰، ۱ و ۲ در نظر می گیرد که تابعی از درجه روز می باشد (Taei Samiromi et al., 2014). دوره زندگی سیب زمینی در مدل WOFOST به دو مرحله تقسیم می شود: جوانه زنی (DVS=0) تا زمان گلدهی (DVS=1) دوره زایشی: از گلدهی (DVS=1) تا زمان رسیدگی (DVS=2) فیزیولوژیکی

نتایج و بحث

کالبیراسیون و اعتبار سنجی مدل رشد گیاهی WOFOST تحت شرایط مزرعه ای

پارامترهای مختلف مدل رشد گیاهی WOFOST که با هدف حداقل کردن اختلاف بین مقادیر اندازه‌گیری شده و شبیه‌سازی شده عملکرد غده و طول مراحل فنولوژیک سیب‌زمینی در مرحله کالبیراسیون نهایی شد در جدول ۲ آمده است. از بین این پارامترها TSUM2، دمای پایه رشد، TSUM1، سطح ویژه برگ، حداکثر سرعت جذب CO₂، بهره وری تبدیل به برگ، ریشه و ساقه طبق جدول ۲ تعیین شدند و سایر پارامترها به صورت مقادیر پیش فرض مدل در نظر گرفته شدند.

بر اساس نتایج مقادیر اندازه‌گیری شده در مدت ۵ سال با تاریخ کاشت‌های مرسوم (جدول ۳) میانگین طول دوره کاشت تا سبز شدن ۲۳/۷ روز، میانگین دوره سبز شدن تا آغاز گلدهی ۳۴ روز و میانگین طول دوره سبز شدن تا رسیدگی فیزیولوژیکی (برداشت) ۱۰/۲ روز، بطور متوسط برای منطقه مورد مطالعه محاسبه و تعیین گردید. مدل در مرحله کالبیراسیون طول دوره سبز شدن را ۲۴/۳ روز، دوره آغاز گلدهی را ۳۳/۷ روز و طول دوره سبز شدن تا رسیدگی فیزیولوژیکی را (برداشت) را ۱۰۰ روز، بطور میانگین برای ۳ ایستگاه مورد مطالعه شبیه‌سازی نمود. در مرحله تعیین اعتبار مدل بطور میانگین طول دوره سبز شدن را ۲۲/۷ روز، طول دوره گلدهی را ۳۴/۲ روز و طول دوره سبز شدن تا رسیدگی فیزیولوژیکی (برداشت) را ۱۰/۸ روز برای تمامی ایستگاه‌های مورد مطالعه شبیه‌سازی نمود.

مقایسه عملکرد شبیه‌سازی شده با مقادیر واقعی در مرحله کالبیراسیون و اعتبارسنجی در شکل ۲ نشان داده شده است. با توجه به شکل ملاحظه می‌شود که مقدار ضریب R² محاسبه شده برای مراحل فنولوژیک و عملکرد در هر دو مرحله کالبیراسیون و اعتبار- سنجی به ترتیب بیش از ۰/۸۷ و ۰/۹۴ بود که نشان‌دهنده دقت بالای مدل در شبیه‌سازی مراحل فنولوژیک و عملکرد سیب‌زمینی است.

نتایج تعیین اعتبار مدل WOFOST برای مراحل فنولوژیک و عملکرد سیب‌زمینی در جدول ۴ نشان داده شده است. مدل WOFOST برآورد قابل قبولی برای هر دو متغیر به همراه داشت. بر اساس نتایج حاصل از شبیه‌سازی مشخص شد میزان عملکرد شبیه- سازی شده، برازش خوبی با مقادیر دیده‌بانی شده دارد (شکل ۲).

و سبزشدن تا رسیدگی فیزیولوژیکی (برداشت) و میزان عملکرد در سال‌های ۱۳۸۹، ۱۳۹۰ و ۱۳۹۲ انجام گرفت. بعد از کالبیراسیون نمودن مدل WOFOST، تعیین اعتبار مدل با استفاده از داده‌های مزروعه‌ای سال‌های ۱۳۹۱ و ۱۳۹۳ انجام گرفت.

معیارهای ارزیابی عملکرد مدل

جهت ارزیابی توانمندی و دقت مدل SDSM در شبیه‌سازی داده‌های دیده‌بانی (۱۹۸۹-۲۰۰۵) و همینطور تعیین اعتبار و ارزیابی مدل WOFOST در شبیه‌سازی مراحل فنولوژیکی مختلف گیاه سیب‌زمینی و عملکرد غده سیب‌زمینی از معیارهای آماری، همچون ریشه نرمال شده (RMSEn)، جذر میانگین مجذور خطای دوم میانگین مربعات خطای (RMSE²)، ضریب تبیین (ME³)، ضریب تبیین (R²)، ضریب ناش ساتکلیف (E_{ns}^۰) استفاده گردید (Bayatani, 2019).

$$\text{RMSEn} = \sqrt{\frac{1}{n} \sum_{i=1}^n (S_i - M_i)^2} \quad \text{معادله (۱)}$$

$$ME = \text{Max}|S_i - M_i| \cdot \frac{100}{M} \quad \text{معادله (۲)}$$

$$RMSEn = 100 \sqrt{\frac{\frac{1}{n} \sum_{i=1}^n (S_i - M_i)^2}{M}} \quad \text{معادله (۳)}$$

در این معادلات، S_i و M_i به ترتیب مقادیر شبیه‌سازی و اندازه-گیری شده، M میانگین مقادیر M_i و n تعداد مشاهدات می‌باشد. مقادیر جذر میانگین مجذور خطای و جذر میانگین مجذور خطای نرمال شده در حالت اپتیمم یا حالتی که مقادیر شبیه‌سازی شده و اندازه‌گیری شده مساوی باشد برابر با صفر و مقدار کارایی مدل در این حالت برابر با یک می‌باشد.

همچنین می‌توان برای ارزیابی مدل WOFOST از نمودار مقادیر واقعی (M_i) در برابر مقادیر شبیه‌سازی شده (S_i) و از معادله رگرسیون خط ۱:۱ رسم شده استفاده کرد.

$$M_i = \beta M_i - \beta S_i (S) \quad \text{معادله (۴)}$$

سپس اختلاف عرض از مبدأ (βM_i) و ضریب متغیر S_i^۱ یا همان شبی خط رگرسیونی به ترتیب با صفر و یک مورد مقایسه قرار گرفت.

1- Root Mean Squre Error

2- Root Mean Square Error-Normalized

3- Maximum Error

4 - R-Squared correlation

5 - Nash Sutcliffe coefficient

جدول ۲- پارامترهای گیاهی مدل WOFOST در مرحله کالیبراسیون در شرایط پتانسیل

Table 2- Plant parameters of the WOFOST model in calibration stage under potential conditions

پارامتر Parameter	توصیف پارامتر Parameter description	مقدار Value		واحد Unit
		پیش فرض Default	تعدیل شده Justified	
TBASEEM	دماهی پایین تراز آستانه برای ظهرور Temperatures below the threshold for emergence	3	5	سانتیگراد °C
TSUMEM	مجموعه درجه روز از کاشت تا سبز شدن Daily degree set from planting to emergence	170	434.9	درجه روز °Cd
TSUM1	مجموعه درجه روز از سبز شدن تا گلدهی Daytime collection from emergence to flowering	150	502.1	درجه روز °Cd
TSUM2	مجموعه درجه روز از گلدهی تا بلوغ یا برداشت Daily degree set from flowering to maturity or harvest	1550	815.4	درجه روز °Cd
SLATB	سطح ویژه برگ Special surface of leaves	0.003	0.002	هکتار/کیلوگرم ha.kg ⁻¹
AMAXTB	حداکثر سرعت جذب CO ₂ Maximum rate of CO ₂ uptake	30	35	کیلوگرم/هکتار ساعت kg.ha ⁻¹ .hr ⁻¹
CVL	بهره‌وری تبدیل به برگ Leaf conversion productivity	0.720	0.760	کیلوگرم/کیلوگرم kg.kg ⁻¹
CVR	بهره‌وری تبدیل به ریشه Productivity becomes the root	0.720	0.755	کیلوگرم/کیلوگرم kg.kg ⁻¹

جدول ۳- طول دوره مراحل فنولوژیکی بر اساس تاریخ کاشت (تعداد روز از اول ژانویه) بصورت میانگین طی سال‌های ۹۳-۱۳۸۹

Table 3- Duration of phenological stages based on planting date (day from January 1) on average during the years 2011-2015

شهر City	سال Year	تاریخ کاشت Date of planting (day)	مراحل فنولوژیکی (روز) Phenological stages				سبز شدن تا رسیدگی Sprout-physiological (برداشت) (day) maturity	
			کاشت تا سبز شدن Planting-Sprout (day)		سبز شدن تا گلدهی Sprout-flowering (day)		سبز شدن تا رسیدگی Sprout-physiological (برداشت) (day) maturity	
			شبیه سازی Simulated	دیدبانی Observation	شبیه سازی Simulated	دیدبانی Observation		
جیرفت Jiroft	1389	260	25	26	35	37	104	106
	1390	260	23	24	33	34	98	100
	1391	260	24	26	36	37	100	102
	1392	260	24	25	34	36	103	105
	1393	260	22	24	33	35	106	108
	1389	260	24	24	32	33	104	103
کهنوچ Kahnuoj	1390	260	24	25	35	36	102	101
	1391	260	22	24	34	36	104	103
	1392	260	22	23	32	33	96	98
	1393	260	24	26	34	35	101	102
	1389	260	21	22	33	35	102	104
	1390	260	23	24	34	35	97	99
منجان Manuojan	1391	260	20	22	33	35	103	103
	1392	260	21	22	32	33	100	101
	1393	260	22	23	35	36	104	105
	Average	---	---	22.7	24	33.7	35	101.6
								102.7

تبیین (R^2) نیز همبستگی بالای ($R^2 > 0.87$) بین مقادیر دیده‌بانی شده با مقادیر شبیه سازی شده نشان می‌دهد. مقادیر ME نشان دهنده ($ME < 12$) کارایی بالای مدل می‌باشد. بنابراین، نتایج بررسی و مقایسه شاخص‌های مختلف آماری نشان دهنده دقیقت بالای مدل رشد گیاهی WOFOST در شبیه سازی عملکرد و مراحل فنولوژیک سیب‌زمینی است.

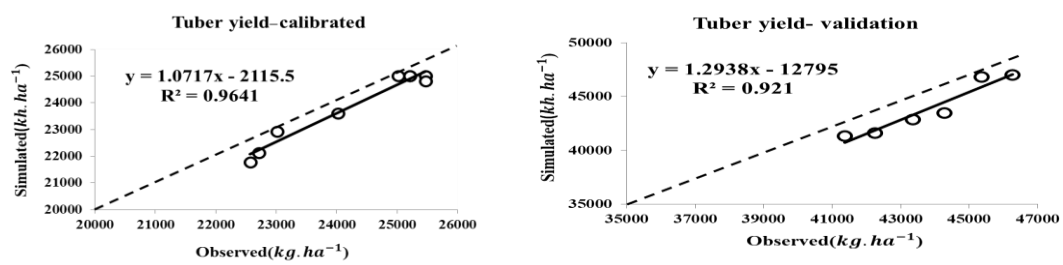
مقادیر میانگین مربعات خطأ برای هر دو متغیر در محدوده عالی قرار داشت و از $7/4$ درصد تجاوز نکرد، بعلاوه شبیه سازی خط رگرسیون بین مقادیر دیده‌بانی و شبیه سازی شده برای مراحل فنولوژیک و عملکرد با شبیه سازی شده تفاوت معنی‌داری نشان نداد (شکل ۲). بر اساس شکل ۲ بیشتر از 87 درصد مراحل فنولوژیک و بالای 90 درصد عملکرد غده سیب‌زمینی، در اطراف خط استاندارد ($\pm SE$) مراحل فنولوژیک و عملکرد دیده‌بانی شده قرار دارد. همچنین ضریب

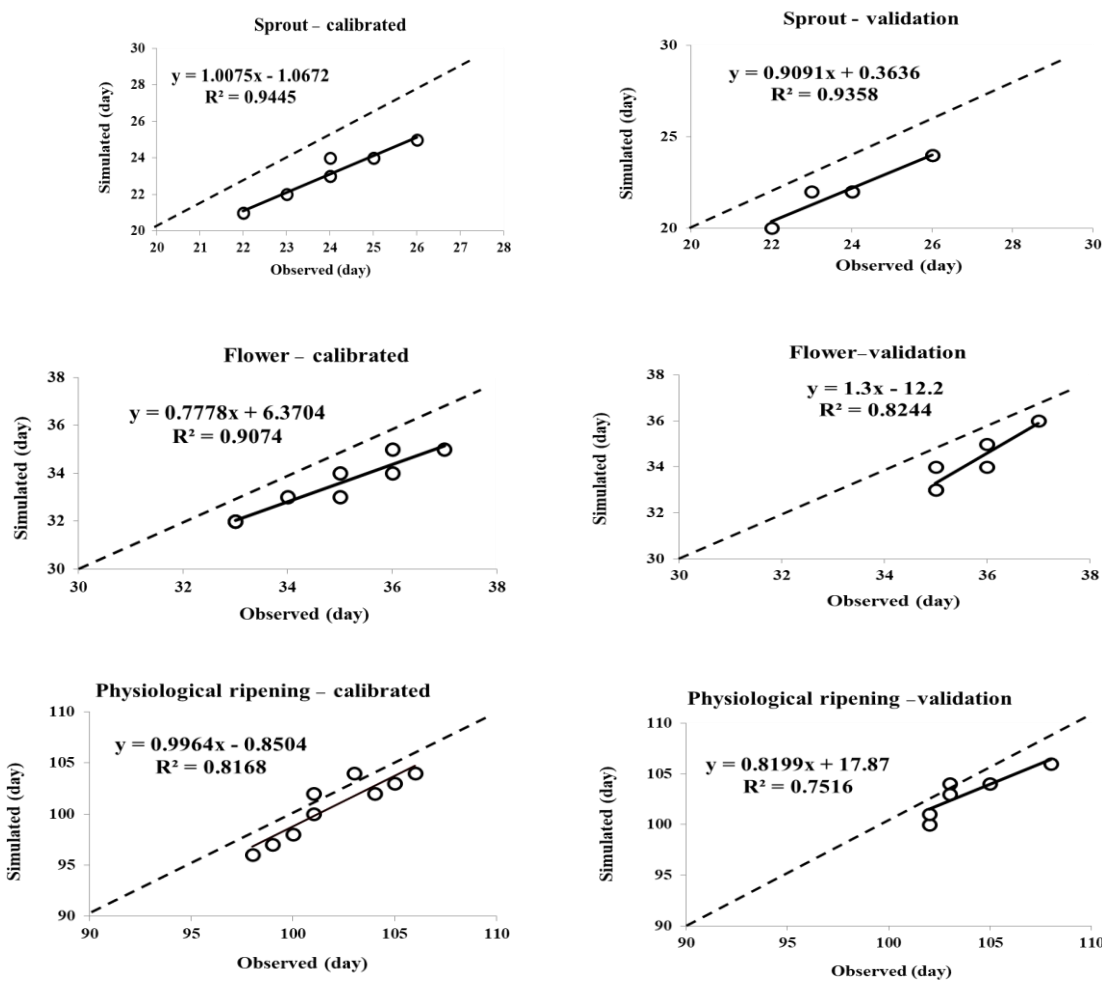
جدول ۴- نتایج کالیبراسیون و تعیین اعتبار مدل برای عملکرد و مراحل فنولوژیک سیب‌زمینی در شرایط پتانسیل

Table 4- Calibration results and model validation for potato yield and phenological stages under potential conditions

Yield and phenological stages	Station	Observation	Simulated	RMSE	RMSEn	R^2	ME
Calibrated کالیبراسیون	جیرفت Jiroft	25	24	1	4	0.93	4
	کهنوچ Kahnouj	24	23.5	0.5	2	0.94	2.9
	منوچان Manoujan	23	21.8	0.9	4	1	4.4
	جیرفت Jiroft	35.3	35	1.7	4.9	0.75	5.7
	کهنوچ Kahnouj	34.4	33	1.3	4	0.81	5.8
	منوچان Manoujan	32.3	33	0.82	2.5	0.78	3
	جیرفت Jiroft	103.7	100.3	3.6	3.4	0.81	4.8
	کهنوچ Kahnouj	101	100	1.7	1.7	0.72	2.5
	منوچان Manoujan	101.3	99.7	1.7	1.7	0.95	1.97
	جیرفت Jiroft	44899	44545	567.5	2.5	0.97	1.8
عملکرد غده Tuber yield	کهنوچ Kahnouj	42765.7	42281	567.5	2.5	0.99	3.5
	منوچان	45232.3	44950.4	390.6	1.6	0.82	2.6

Manoujan								
	جیرفت Jiroft	24.5	23	1.3	5.2	1	8.2	
کاشت- سبز شدن Planting-sprout	کهنوچ Kahnouj	24	23	0.82	3.4	1	4.2	
	منوچان Manoujan	21.5	21	0.58	2.7	1	4.6	
	جیرفت Jiroft	34.5	34.4	0.9	2.6	1	3.5	
سبز شدن- گلدهی Sprout-flowering	کهنوچ Kahnouj	34.5	34.3	0.1	0.37	1	0.6	
validation اعیان اثبات	منوچان Manoujan	34	33.5	1.3	3.8	1	6	
	جیرفت Jiroft	105	99.5	4.9	4.7	1	7.6	
سبز شدن- رسیدگی (برداشت) Sprout-physiological (maturity)	کهنوچ Kahnouj	102.5	102.3	0.94	0.92	1	1.3	
	منوچان Manoujan	104	103.5	0.58	0.55	1	0.96	
	جیرفت Jiroft	43806.5	42212	3267.5	7.4	1	12	
عملکرد غده Tuber yield	کهنوچ Kahnouj	42716	43180	1764.5	4	1	5.7	
	منوچان Manoujan	44563	43996	2685.7	6.7	1	10	





شکل ۲- مقایسه مقادیر شبیه‌سازی شده با مقادیر اندازه‌گیری شده برای عملکرد غده گیاه سیب‌زمینی (داده‌های سال‌های ۱۳۹۰، ۱۳۸۹ و ۱۳۹۲ برای مرحله‌ی کالیبراسیون و داده‌های سال‌های ۱۳۹۱ و ۱۳۹۳ برای مرحله‌ی تعیین اعتبار)، خط یک به یک نیز در شکل نشان داده شده است.

Fig. 2- Comparison of the simulated values with measured values for potato tuber yield (data for 2011, 2012 and 2014 for the calibration stage and data for 2013 and 2015 for the stage Validation), the one-to-one line is also shown in the figure

بارش نیز نسبت به دیگر پارامترها به مراتب بیشتر بوده (۲/۲) و خطای بیشتری را نشان می‌دهد. بنابراین، با توجه به نتایج جدول ۵ توانایی مدل SDSM در شبیه‌سازی پارامترهای هواشناسی تایید شده، ولی با این حال مدل در شبیه‌سازی بارش دقیق‌تر کمتری را نشان می‌دهد که با یافته‌های جعفرپور (Jafarpour, 2016) و طایی سمیرمی و همکاران (Taie et al., 2015) و نازاری و همکاران (Nazari et al., 2015) مطابقت دارد. در ادامه نتایج بدست آمده از ارزیابی مدل SDSM در جدول ۵ ارائه شده است.

تولید ستابیوهای تغییر اقلیم در دوره‌های آتی عملکرد مدل SDSM در ریزمقیاس‌نمایی داده‌های اقلیمی بوسیله‌ی شاخص‌های آماری (جدول ۵) مورد ارزیابی قرار گرفت. نتایج نشان می‌دهد مقدار ضریب تبیین R^2 در همه موارد از مقدار قابل توجهی برخوردار است (بالای ۰/۹۹). حداقل خطا (ME) برای شبیه‌سازی دمای حداقل، دمای حداقل و بارش بطور میانگین برای هر سه ایستگاه مورد مطالعه به ترتیب ۰/۰۱۷، ۰/۰۱۵ و ۰/۰۱۹ بدست آمد که نشان از خطای بیشتر شبیه‌سازی بارش نسبت به پارامتر دما می‌باشد. شاخص ریشه میانگین مربعات خطا (RMSE) در شبیه‌سازی

جدول ۵- کارآیی مدل SDSM در شبیه‌سازی بارش و میانگین دمای حداکثر و دمای حداقل در دوره دیدبانی با داده‌های NCEP

Table 5- Efficiency of the SDSM model in simulating precipitation and mean minimum and maximum temperature and maximum temperature during the observation period with NCEP data

ایستگاه Station	متغیر Variable	معیار دقیق Accuracy criteria					
		درصد خطأ Percentage error	E_{ns}	RMSE	RMSEn (%)	ME	R^2
Jiroft	دماهی حداقل T-min	-0.02	0.99	0.02	0.1	0.21	1
	دماهی حداکثر T-max	-0.02	0.99	0.03	0.1	0.24	1
	بارش Precipitation	-4.5	0.99	1.2	0.7	21	0.99
Kahnoouj	دماهی حداقل T-min	-0.03	0.99	0.02	0.1	0.2	1
	دماهی حداکثر T-max	0.004	0.99	0.02	0.05	0.1	1
	بارش Precipitation	-1.7	0.99	0.7	0.4	10.8	0.99
Manoujan	دماهی حداقل T-min	-0.04	0.99	0.01	0.07	0.1	1
	دماهی حداکثر T-max	-0.04	0.99	0.03	0.1	0.1	1
	بارش Precipitation	-1.8	0.99	1.6	0.8	28	0.99

از ۰/۴ درجه سانتیگراد در سناریوی RCP2.6 تا ۰/۷ درجه سانتیگراد در سناریوی RCP8.5 مشاهده شد. بیشترین افزایش دمای حداکثر و حداقل به ترتیب به میزان ۱ و ۱/۳ درجه سانتیگراد در ایستگاه کهنه و جیرفت در سناریوی RCP8.5 مشاهده گردید. میانگین کاهش بارش به میزان ۱/۲ میلیمتر در سناریوی RCP2.6 تا ۱/۷ میلیمتر در سناریوی ۰/۵ نیز مشاهده گردید. بیشترین کاهش بارش به مقدار ۳۸ میلیمتر در ایستگاه جیرفت مشاهده شد.

در جدول ۶ نتایج مربوط به شبیه‌سازی دمای حداقل، حداکثر و بارش در سه دوره آینده تحت سناریوی انتشار RCP2.6 و RCP4.5، RCP8.5 نمایش داده شده است. با توجه به جدول ۶ دمای حداکثر و حداقل شبیه‌سازی شده برای دوره آینده (۲۰۱۱-۲۱۰۰) تحت سناریوهای RCP نسبت به دوره دیدبانی در هر سه سناریو افزایش نشان می‌دهد. بارش نیز در دوره‌های آینده در هر سه سناریوها دچار تغییر شده است و روند روبه کاهش را نشان می‌دهد. میانگین افزایش سالانه دمای حداقل و حداکثر در مناطق مورد مطالعه

جدول ۶- میزان تغییرات میانگین دمای حداقل و حداکثر و بارش سالانه در ایستگاه‌های منتخب در سه دوره ۲۰۱۱-۲۰۴۰، ۲۰۷۰-۲۰۴۱ و ۲۰۱۰-۲۰۷۱ نسبت به دوره دیدبانی تحت سه سناریوی انتشار RCP2.6، RCP4.5 و RCP8.5

Table 6- Changes in the average minimum and maximum temperatures and annual precipitation at selected stations in the three periods 2040-2011, 2070-2041 and 20100-2071 compared to the observation period under the three emission scenarios RCP2.6, RCP4.5 and RCP8.5

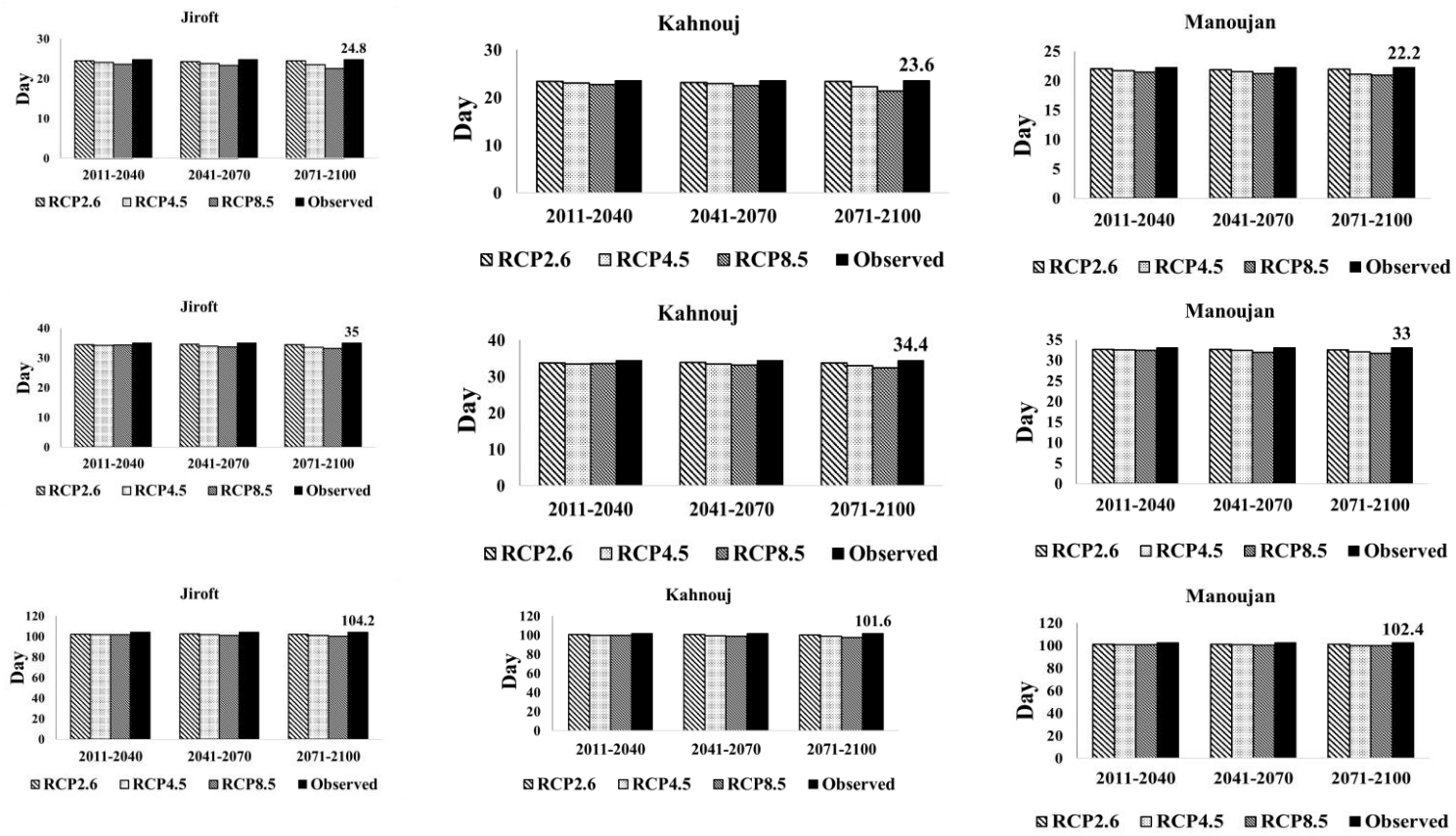
ایستگاه Station	دماه حداقل Minimum temperature	دماه حداکثر Minimum temperature						بارش Precipitation											
		جیرفت Jiroft			کهنوج Kahnouj			منجان Manoujan			جیرفت Jiroft			کهنوج Kahnouj			منجان Manoujan		
		%	°C	%	°C	%	°C	%	°C	%	°C	%	mm	%	mm	%	mm	%	
دیدبانی Observed	17	19.7	18.8	32.8	33.7	34.2	175.8	185.9	203.8										
	2	0.4	2	0.4	2	0.4	0.5	1	0.4		0.3	-8	-13	-8	-15	-8	-16		
	2	0.3	2	0.4	2	0.5	0.5	1	0.3		0.3	-6	-10	-7	-12	6	-12		
	2	0.4	2	0.4	2	0.4	0.5	1	0.4		0.3	-8	-14	-7	-14	-9	-18		
	3	0.5	3	0.5	2	0.4	0.4	1	0.5		0.4	-7	-12	-9	-16	-6	-12		
	4	0.6	3	0.6	3	0.6	0.6	2	0.6		0.5	-11	-19	-12	-22	-6	-12		
	5	0.8	4	0.9	4	0.7	0.7	1	2		0.7	-18	-31	-13	-24	-5	-10		
	3	0.4	2	0.4	2	0.4	0.4	1	0.4		0.4	-7	-12	-7	-13	-7.5	-15		
	4	0.7	4	0.8	4	0.8	0.8	1	2		0.7	-14	-25	-14	-27	-3	-6		
	7	1.2	7	1.3	3	0.5	0.5	1	4		1	0.4	-21	-38	-11	-20	-5	-9	

کنون تأثیر منفی کاهش طول دوره کاشت تا سبزشدن به علت گرمايش جهانی بر عملکرد نهایی غده‌های سیب‌زمینی گزارش نشده است (Turkaman, 2016). با این وجود افزایش دما، ناشی از تغییر اقلیم طول دوره رشد را در مناطق گرمسیری به شدت کاهش خواهد داد. بنابراین، موضوع تغییر تاریخ کاشت یکی از آثار گرمايش جهانی و راهکار سازگاری با پدیده گرمايش جهانی می‌باشد (Turkaman, 2016). طول دوره سبزشدن تا گلدهی بطور میانگین میان ۰/۷ روز تا ۱/۵ روز کاهش خواهد یافت. بطور متوسط میزان کاهش دوره‌ی گلدهی در سناریوی RCP2.6 بین ۰/۵ تا ۰/۸ روز، در سناریوی RCP4.5 در محدوده‌ی ۱ تا ۱/۶ روز و در سناریوی RCP8.5 در محدوده‌ی ۱/۰۵ تا ۱/۷ روز خواهد بود. مرحله‌ی سبزشدن تا رسیدگی فیزیولوژیکی غده‌ها (برداشت) به علت طولانی تر بودن آن بیشترین کاهش طول دوره در این مرحله اتفاق افتاد. به طور متوسط میزان کاهش طول دوره رسیدگی فیزیولوژیکی غده‌ها (برداشت) برای ۳ ایستگاه مورد مطالعه بین ۱/۹ روز در سناریوی RCP2.6 تا ۳/۶ روز در سناریوی RCP8.5 قرار دارد (شکل ۳).

بررسی تأثیر تغییر اقلیم بر طول مراحل فنولوژیکی و عملکرد غده

تلفیق نتایج حاصل از مدل اقلیمی CanESM2 تحت سناریوهای RCP8.5، RCP2.6، RCP4.5 و ۲۰۱۱-۲۰۴۱-۲۰۷۰ و ۲۰۷۱-۲۱۰۰ با مدل شبیه‌ساز رشد و نمو WOFOST نشان داد که طول مراحل مختلف فنولوژیکی، از کاشت تا سبزشدن تا گلدهی و سبزشدن تا رسیدگی فیزیولوژیکی (برداشت) (بدون محدودیت آب و عناصر غذایی) و عملکرد غده سیب‌زمینی در شرایط پتانسیل در مناطق مورد مطالعه کاهش خواهد یافت. نتایج حاصل شده با یافته‌های ادواری و همکاران (Advari et al., 2019) و ترکمان (Turkaman, 2016) مطابقت دارد.

بر اساس نتایج شبیه‌سازی در مناطق مورد مطالعه در دوره اقلیمی آینده، طول دوره کاشت تا سبزشدن بطور میانگین بین ۰/۳ روز تا ۱/۳ روز کاهش خواهد یافت. در مناطق گرمسیری که دارای زمستان‌های معتدل هستند و کشت پاییزه سیب‌زمینی انجام می‌شود، مرحله‌ی کاشت تا سبزشدن بیشتر از سایر مراحل فنولوژیکی سیب‌زمینی، تحت تأثیر اثرات ناشی از گرمايش جهانی خواهد بود. البته تا



شکل ۳- شبیه‌سازی مدت زمان کاشت تا سبز شدن (بالا)، سبز شدن تا گلدهی (وسط) و سبز شدن تا رسیدگی فیژیولوژیکی (برداشت) (پایانی) گیاه سیبزمنی بر اساس مدل CanESM2 برای سه دوره اقلیمی ۲۰۱۱-۲۰۴۰، ۲۰۷۱-۲۱۰۰ و ۲۰۴۱-۲۰۷۰ تحت سناریوهای RCP با استفاده از مدل WOFOST

Fig. 3- Simulation of planting time to emergence (top), green to flowering (middle) and emergence to physiological maturity (bottom) of potato plant based on CanESM2 model for three climatic periods 2040-2011, 2070-2041 And 2100-2071f under RCP scenarios using the WOFOST model

در ایستگاه جیرفت در سه دوره آتی بطور متوسط، تحت سناریوی ۱/۵ درصد، سناریوی RCP4.5، ۳/۱ RCP2.6 کاهش عملکرد مشاهده گردید. در ایستگاه ۴/۰۵ RCP8.5 درصد کاهش عملکرد مشاهده شد. در ایستگاه کهنوج و منجان بهترین در سناریوی RCP2.6، ۱/۶ و ۲/۹ درصد، ۴/۸ درصد کاهش عملکرد غده سیبزمنی در سناریوی RCP4.5، ۲/۹ و ۵/۲ درصد و در نهایت، سناریوی RCP8.5 با توجه به نتایج بدست آمده بیشترین کاهش عملکرد غده سیبزمنی در هر سه دوره آینده تحت سناریوهای اقلیمی RCP در ایستگاه منجان می‌باشد.

شبیه‌سازی عملکرد غده سیبزمنی
بر اساس گزارشات موجود واکنش عملکرد سیبزمنی نسبت به تغییر اقلیم پسته به منطقه و سناریوی تغییر اقلیم متفاوت است (Turkaman, 2016). نتایج شبیه‌سازی عملکرد غده سیبزمنی نشان دهنده کاهش عملکرد در هر سه ایستگاه مورد مطالعه است (جدول ۷). با توجه به نتایج بدست آمده، بیشترین میزان کاهش عملکرد در دوره سوم (۲۰۷۱-۲۱۰۰) مشاهده شد. درصد کاهش عملکرد غده بطور میانگین بین ۲ تا ۴/۳ درصد در مناطق مورد مطالعه مشاهده شد (جدول ۷).

جدول ۷- شبیه‌سازی عملکرد غده سیب‌زمینی (کیلوگرم در هکتار) و درصد کاهش عملکرد بر اساس مدل CanESM2 تحت سناریوهای RCP در مناطق مورد مطالعه در دوره‌های ۲۰۱۱-۲۰۴۰، ۲۰۷۰-۲۱۰۰ و ۲۰۴۱-۲۱۰۰

Table 7- Simulation of potato tuber yield (kg.ha^{-1}) and yield reduction percentage based on CanESM2 model under RCP scenarios in the studied areas in the periods 2040-2011, 2070-2041 and 2100-2071

ایستگاه Station	دیدبانی Observed	2011-2040			2041-2070			2071-2100		
		RCP2.6	RCP4.5	RCP8.5	RCP2.6	RCP4.5	RCP8.5	RCP2.6	RCP4.5	RCP8.5
جیرفت Jiroft	44353	عملکرد Yield	44010	43914	43707	43370	42767	42345	43637	42262
		درصد Percent	-0.8	-1	-1.5	-2	-3.6	-4.5	-1.6	-5
کنهوچ Kahnouj	42741	عملکرد Yield	42289	42091	41761	41878	41661	41323	42013	40790
		درصد Percent	-1	-1.5	-2.3	-2	-2.5	-3	-2	-5
منوجان Manoujan	44898	عملکرد Yield	44482	44347	43241	43930	43825	43690	43579	42900
		درصد Percent	-0.9	-1	-1.5	-2	-2.4	-2.7	-3	-4.4

روز و مرحله سبزشدن تا رسیدگی (برداشت) بین ۱/۴ تا ۳/۵ روز قرار دارد. نتایج جدول ۸ حاکی از آن است که با افزایش میانگین دما، طول مراحل رشد فنولوژیکی گیاه کاهش خواهد یافت و به تبع آن کاهش میزان عملکرد غده سیب‌زمینی را در پی خواهد داشت. همانطور که در جدول ۸ نیز مشاهده می‌شود میزان کاهش عملکرد غده در سناریوی RCP2.6 در دوره اول (۲۰۱۱-۲۰۴۰) از ۶۰/۳/۶ کیلو در هکتار به مقدار ۲۵۹۲/۳ کیلو در هکتار در سناریوی RCP8.5 در دوره سوم (۲۰۷۱-۲۱۰۰) رسیده است. بیشترین کاهش در طول مراحل فنولوژیکی مربوط به مرحله سبزشدن تا رسیدگی (برداشت) به میزان ۳/۵ روز است. شکل ۴ نشان می‌دهد که بهازای هر یک درجه سانتیگراد افزایش میانگین دما سالانه، عملکرد غده به میزان ۴/۹۹ درصد کاهش خواهد یافت.

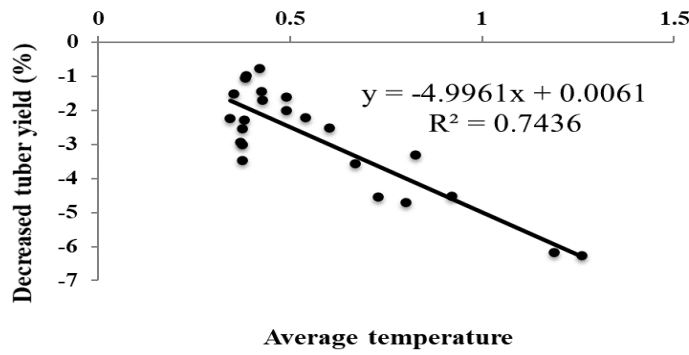
اثرات تغییرات مدت زمان مراحل فنولوژیکی بر عملکرد سیب‌زمینی

به منظور ارزیابی روند عملکرد سیب‌زمینی در مناطق مورد مطالعه تحت تأثیر تغییرات ایجاد شده در طول دوره رشد گیاه سیب‌زمینی (کاشت تا سبزشدن، سبزشدن تا گلدهی و سبزشدن تا رسیدگی فیزیولوژیکی (برداشت)، نتایج حاصل از شبیه‌سازی دمای حداقل و دمای حداکثر با نتایج شبیه‌سازی مراحل فنولوژیکی و عملکرد غده سیب‌زمینی تلفیق گردید. نتایج بیانگر افزایش میانگین دماهای حداقل و حداکثر به میزان ۳/۷ تا ۰/۰ درجه سانتیگراد طی سه دوره آینده می‌باشد (جدول ۸). طول مراحل فنولوژیکی گیاه سیب‌زمینی از سبزشدن تا رسیدگی فیزیولوژیکی (برداشت) به موازات افزایش میانگین دمای حداقل و حداکثر کاهش یافته‌اند (جدول ۸). کاهش طول مرحله سبزشدن بین ۰/۰ تا ۱/۹ روز، مرحله گلدهی بین ۰/۵ تا ۱/۷

جدول ۸- مقایسه مدت زمان کاهش مراحل فنولوژیکی (روز) و عملکرد غده سیب‌زمینی (کیلوگرم در هکتار) و افزایش میانگین دمای حداقل و حداکثر (درجه سانتیگراد) بر اساس مدل گردش عمومی CanESM2 تحت سناریوهای RCP در مناطق مورد مطالعه

Table 8- Comparison of the duration of reduction of phenological stages (days) and potato tuber yield (kg / ha) and increase of Average minimum and maximum temperatures (degrees Celsius) based on the general circulation model anCanESM2 under RCP scenarios in the study areas

پارامترها Parameter	2011-2040			2041-2070			2071-2100		
	RCP2.6	RCP4.5	RCP8.5	RCP2.6	RCP4.5	RCP8.5	RCP2.6	RCP4.5	RCP8.5
Sprout	-0.2	-0.6	-1	-0.4	-0.8	-1.2	-0.3	-1.2	-1.9
Flower	-0.5	-0.7	-0.7	-0.4	-0.9	-1.2	-0.5	-1.3	-1.7
Ripening	-1.4	-1.9	-2	-1.3	-2.1	-2.7	-1.6	-2.7	-3.5
Yield	-603.6	-1138	-921	-746.3	-1712.8	-2479.4	-994	-2077.8	-2592.3
Average temperature	0.37	0.37	0.38	0.45	0.6	0.8	0.4	0.7	0.9



شکل ۴- درصد کاهش عملکرد غده سیبزمینی به ازای افزایش میانگین دمای سالانه با استفاده از مدل گرددش عمومی CanEMS2 تحت سناریوهای RCP در مناطق مورد مطالعه

Fig. 4- Percentage decrease in potato tuber yield for increase in average annual temperature using CanEMS2 general circulation model under RCP scenarios in the studied areas

۱۱ میلی‌متر تا ۲۲ میلی‌متر محاسبه گردید.

نتیجه‌گیری

نتایج کالیبراسیون و تعیین اعتبار مدل WOFOST حاکی از دقت بالای مدل در شبیه‌سازی عملکرد و مراحل فنولوژیکی سیبزمینی در مناطق مورد مطالعه بود بطوریکه مقدار RMSEn برای هر دو مورد در مناطق تحت مطالعه زیر ۱۰ درصد بود. طول مراحل فنولوژیکی (کاشت تا سبزشدن، سبزشدن تا گلدهی و سبزشدن تا رسیدگی فیزیولوژیکی) (برداشت) در دوره آینده تحت سناریوهای RCP کاهش می‌یابد.

نتایج حاصل از شبیه‌سازی عملکرد غده سیبزمینی تحت شرایط اقلیم آینده حاکی از کاهش میزان عملکرد در مناطق مورد مطالعه بود. بیشترین کاهش عملکرد در دوره سوم و تحت سناریوی RCP8.5 مشاهده شد. بطور متوسط در مناطق مورد مطالعه به میزان ۱۴۷۳/۹ کیلوگرم در هکتار کاهش عملکرد غده سیبزمینی مشاهده گردید. کاهش طول دوره رسیدگی سیبزمینی بیشترین سهم را در کاهش عملکرد غده سیبزمینی دارد. نتایج بدست آمده از شبیه‌سازی عملکرد غده سیبزمینی نشان می‌دهد که به موازات افزایش دما میزان عملکرد غده نیز کاهش می‌یابد و به ازای هر یک درجه سانتیگراد افزایش میانگین دمای سالانه، عملکرد غده به میزان ۴/۹۹ درصد کاهش خواهد یافت.

از مصاديق بارز تغییر اقلیم افزایش دما و کاهش بارش در اقلیم آینده است. بنابراین، هرگونه تغییر در وضعیت آب و هوای جهان، به طور مستقیم بر تولید محصولات کشاورزی و در نتیجه بر موضوع تامین امنیت غذایی در سطح جهان تاثیرگذار است. در همین راستا در این مطالعه به ارزیابی تأثیرات تغییر اقلیم بر عملکرد و طول مراحل فنولوژیکی سیبزمینی در سه ایستگاه جیرفت، کهنوج و منجان، از مراکز اصلی تولید سیبزمینی در کشور محسوب می‌شوند، در آینده پرداخته شد. مناطق نام برده در این مطالعه جهت شبیه‌سازی اقلیم آینده، از داده‌های مدل گرددش کلی CanESM2 تحت سناریوهای انتشار ۲۰۱۱-۲۱۰۰، RCP8.5 و RCP4.5، RCP2.6، RCP8.5 و RCP4.5 استفاده گردید. برای ریزگردانی خروجی مدل CanESM2 از نرم‌افزار آماری SDSM و برای شبیه‌سازی عملکرد سیبزمینی از مدل Rشد و نمو WOFOST استفاده شد. نتایج حاصل از شبیه‌سازی پارامترهای دما (دمای حداقل و حداکثر)، حاکی از افزایش میانگین دمای حداقل و دمای حداکثر به ترتیب از ۰/۳۸ تا ۱ درجه سانتیگراد و ۰/۹ تا ۰/۳۶ درجه سانتیگراد بود. در ایستگاه منجان در دوره آخر روند افزایش دما از سناریوی RCP8.5 به سناریوی RCP4.5 عکس شده است و میانگین دمای حداقل و حداکثر هر دو در این دوره کاهش می‌یابد و این موضوع می‌تواند نشان از بیانی شدن هر چه بیشتر اقلیم منطقه در آینده دور باشد. میانگین کاهش بارش در مناطق مورد مطالعه از

References

- 1- Advari, Z., Tadayon, M. R., & Arani Baghbani, A. (2019). Effect of Climate Change on potato Production and assessment adaptation strategies in Fereydounshahr. *Journal of Plant Process and Function*, 8,151-169. (In Persian with English Summary) <http://dorl.net/dor/20.1001.1.23222727.1398.8.29.18.0>
- 2- Bani Hashemi, S.(2012). Assessment of climate change and related damages in the country. *Quarterly Journal of Forests, Rangelands and Watershed Management Organization* 94 and 93, 13-5. (In Persian with English Summary)
- 3- Bayatani, F. (2019). Study of the effects of climate change on yield and water requirement of potato plant in Iran. PhD Dissertation, Faculty of Literature, *Hakim Sabzevari University of Sabzevar*, Iran. (In Persian with English Summary)
- 4- Darzi Naftchali, A., & Karandish, F.(2016). Rice cultivation management in Mazandaran Province under climate change . *Journal of Water Research in Agriculture*, 30, 33-346. (In Persian with English Summary). <https://doi.org/10.22092/jwra.2016.107154>
- 5- Delghandi, M., Massah Bovani, A. R., Ajorlou, M. J., Broomandnasab, S., & Andarzian, B. (2014). Risk assessment of climate change impacts on production and phenology of wheat (case study: Ahvaz Region). *Journal of Water and Irrigation Management*, 4, 161-175. (In Persian with English Summary) <https://doi.org/10.22059/jwim.2014.53032>
- 6- Esmaili, R., Ataie, H., & Falah Ghalhary, G. (2011). Evaluation of the effects of climate change on the possibility of developing two nucleated species of almond and apricot (Case study: Khorasan Razavi). *Journal of Agricultural Knowledge and Sustainable Production*, 21, 162-145. (In Persian with English Summary)
- 7- Food and Agriculture Organization (FAO). (2019). *An FAO Perspective*. <http://www.fao.org>.
- 8- Food and Agriculture Organization (FAO). (2012). *Plant Production and Protection Paper* 17. FAO, Rome.
- 9- Fischer, G.F.N., Tubiello, H., Velthuizen, V., & Wiberg, D.A. (2007). Climate change impacts on irrigation water requirements. *Technological Forecasting & Social Change*, 74, 1083-1107. <https://doi.org/10.1016/j.techfore.2006.05.021>
- 10- Gouache, C.H., Bris, X., Bogard, L.M., Deudon, O., Pagé, C.H., & Philippe, P.H. (2012). Evaluating agronomic adaptation options to increasing heat stress under climate change during wheat grain filling in France. *European Journal of Agronomy*, 39, 62-70. <https://doi.org/10.1016/j.eja.2012.01.009>
- 11- Jafarpour, S., h. (2016). Investigating the effects of climate change on water demand and yield of major crops in Ardabil plain. Master Thesis, Faculty of Agriculture and Natural Resources, *Mohaghegh Ardabili University of Ardabil*, Iran. (In Persian with English Summary)
- 12- Khajehpour, M. R. (2008). Principles and foundations of agriculture. *Isfahan University Jihad Publications, Isfahan*.
- 13- Nazari, S. h., Taheriuun, M., & Ahmadi, A. (2015). Investigation of the effects of climate change on temperature and precipitation in the catchment area of Mahabad Dam (using CanESM2 model), the second national conference on architecture. *New Urban Development, National Center of Iranian Architects*, Urmia, 5 October 2015. (In Persian with English Summary) <https://civilica.com/doc/418378>.
- 14- Sutip, I., Hooyer, A.A., & Van Diepen, C. A. (1994). System description of the WOFOST 6.0 crop simulation model implemented in CGMS. Vol. 1: Theory and algorithms. *EUR publication* 15956, Agricultural series, Luxembourg.
- 15- Taei Semiroomi, S., Moradi, H. R., & Khodagholi, M. (2014). Simulation and prediction some of climate variable by using multi line SDSM and Global Circulation Models (Case study: Bar Watershed Nayshabour). *Human and Environment Quarterly*, 28, 15-1. (In Persian with English Summary)
- 16- Taei Semiroomi, J., Ghanbari, A., Amiri, I., Ghaffari, A. A., Siahsar, B., & Ayobi, Sh. (2012). Agroecological Zoning of Wheat in the Borujen Watershed: Rianfed and Irrigated Wheat Cropping System Evaluation. *Journal of Agricultural Science and Sustainable Production*, 22(4), 12-1. (In Persian with English Summary)
- 17- Turkman, M. (2016). Investigating the effect of future warming and climate change on agricultural characteristics and potato production in Iran. PhD Dissertation, Faculty of Agriculture, *Ferdowsi University of Mashhad*, Iran.
- 18- Willby, R. L., Dawson, C. W., Barrow, E. M. (2002). SDSM a decision support tool for the assessment of regional climate change impacts. *Environmental Modelling & Software*, 17, 145-157. [https://doi.org/10.1016/S1364-8152\(01\)00060-3](https://doi.org/10.1016/S1364-8152(01)00060-3)